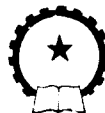


# 农业用内燃水泵的理論分析 及其設計方案的研究

戴桂蕊著



机械工业出版社

# 农业用内燃水泵的理論分析 及其設計方案的研究

长春汽车拖拉机学院教授  
戴桂蕊著



机械工业出版社

1958

## 出版者的話

农业用內燃水泵是一种完全新型的水泵。它的工作原理，就是利用煤气燃烧时的爆炸力直接将水压向高处。內燃水泵的研究成功，是农业用排灌机械的技术革命，也是內燃机傳动机构的革命。

在本書中，作者先簡要地介紹了国外內燃水泵的發展史，隨后即从热力学和水力学上对內燃水泵作一比較詳細的理論分析。文中根据推論，提出了一个农业用內燃水泵的設計。現在已經試制成功，并准备推广。这种水泵构造特別簡單，制造容易，成本低廉，运用与維护都很方便，非常适合于农村作灌溉和排水之用。

本書适用于从事农业排灌机械設計制造的技术人員和科学研究人員。

NO. 2007

1958年6月第一版 1958年9月第一版第二次印刷

787×1092<sup>1/16</sup> 字数 58 千字 印張 2<sup>3/4</sup> 3,001—6,600册

机械工业出版社(北京东交民巷27号)出版

机械工业出版社印刷厂印刷 新华书店發行

北京市書刊出版業營業許可証出字第008号

定价(10) 0.37元

## 一 引 言

根据全国农業發展的需要与国家資源及工業現狀的条件，目前农業上所用的各种型式的排灌机械尚远不能适应我国农村的情况。像电力水泵由於电源的限制，在全国电气化以前，就不可能在我国辽闊的水田內普遍採用。至於热力水泵，包括蒸汽、柴油或煤气发动机及其所帶动的抽水机，则在农村条件下，由於机械运用与修护的繁杂，熟練技术人員的缺乏，燃料油料難於供应或设备過於昂貴等，其大量採用仍然存在着困难。

本文所提出的“农用内燃水泵”，乃是構造特別簡單、抽水成本特別低廉、易於制造、便於农民运用与維护而燃料經濟性很高並可省除机油耗費的特种“热力水泵”型农田排灌机械。此种水泵可用农村就地可得的木炭、木柴或無烟煤等固体燃料經煤气發生爐氣化而形成的煤气作为燃料。它的工作原理乃是利用煤气在“J”形水管閉端內(短管內)燃燒时的爆炸力直接施压於管內水面，逕將管內的水由低水位沿水管压送至高水位。由於煤气的燃燒系直接在水泵的内部进行，故称为“内燃水泵”；同时由於水泵本身在形式上也不过是一根“J”形水管，構造至为簡單，特別适合於农業上的应用，故命名为“农用内燃水泵”。

内燃水泵在英美等国曾經进行过某些試驗，也有过实际应用的先例（見参考文献），其实現性已無須再行証明。然而由於社会制度的影响以及欧美各国沒有像我国水田这样需要大量水耗的广大农業，以致这种水泵在国外尚未得到应有的發展和应用，也沒有就它特別適用於农田排灌工作这一突出特点和沿这一最有前途的發展方向进行过应有的研究。

本文將於簡略回顧内燃水泵在国外的發展情況后，就内燃水泵的工作過程作出理論計算和分析，并提出我国目前需要數量最多的小型农用内燃水泵的設計方案。

## 二 气压力直接提水工具与内燃水泵在国内外的發展

就目前我国农村採用最多的煤气机抽水设备来分析，这种热力水泵既然是利用煤气着火燃燒的燃气气压力來达成提水的目的，则原动气压力与被提的水之間所插入的活塞、連桿、曲軸、皮帶及皮帶輪等这一系列的中間傳力机件在科学原理上是否絕對必要，显然是一个大可怀疑的問題。因此，能制出可以完全消除原动气压力与被提的水之間的中間傳力机件的新型水泵，将是热力水泵最大可能的简化方案。

利用气体压力直接施压於水面进行提水的原理，在我国古代早有应用。例如，至今在湖南若干小型旧式煤矿中尚可看到的、在我国相傳已採用了好几百年的原始竹筒水車，即

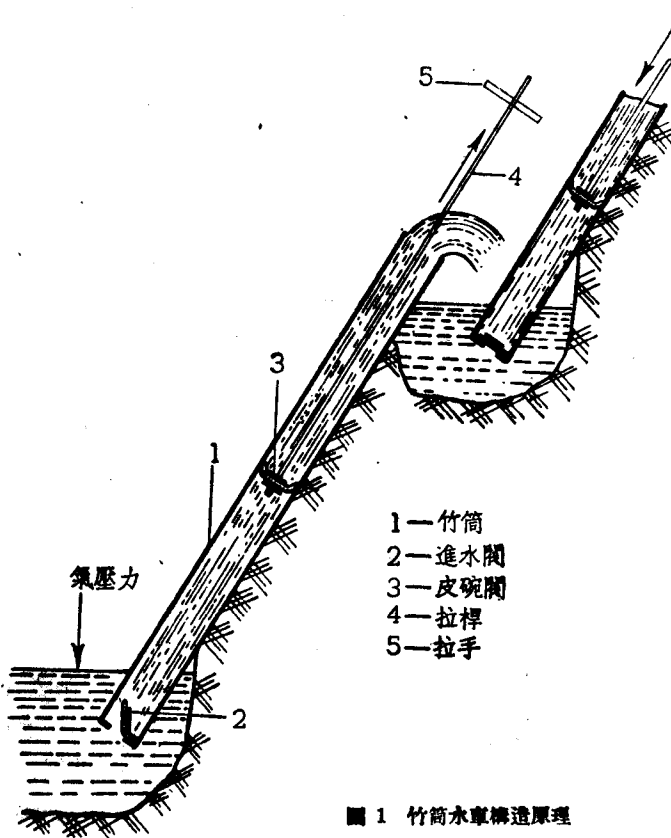


圖 1 竹筒水車構造原理

以最簡單的方式应用了此項原理。圖 1 表明竹筒水車的構造原理。當抽水工人將拉手上提升後，大氣壓力直接施壓於水面，即將水由低水位壓送提升至竹筒內。自然，在竹筒上端需依靠人力克服筒上端的大氣壓力才能使筒下端的大氣壓力起提水的作用，因之，也形成了繁重的人力勞動。如果撤銷人力及其手工工具而用煤氣爆炸力加強下端水面上的大氣壓力，則竹筒水筒中大氣壓力提水的原理當可得到擴大的應用，而這就是內燃水泵的基本工作原理。

二十世紀初葉以來，應用大氣壓力直接提水的內燃水泵在英美兩國曾經先後進行過一些試驗，其中已有實用歷史的“四程式”內燃水泵的構造原理可示如圖 2。圖中 1 为燃燒室。室內 2 为進氣閥、3 为排氣閥，均向內開，並各有輕簧拉住，使之關閉。各氣閥間有連鎖機構，使進氣閥打開時，排氣閥就不能打開，而排氣閥可打開時，則進氣閥就不能打開。室內 4 为火星塞，在進氣壓縮後，適時點火引起燃燒。室之下端沉入進水箱 7 內形成水缸。缸的周圍裝有進水閥 5 若干個，均向內開，俾進水能於適當時機暢流入缸。進水箱由低水位的水源供水並可裝用浮子控制水門，使箱內有可能保持一定的水位。缸之下端有水管逕與水塔或高地水槽 8 相連，而此管在工作時將有管水作往復擺動，故可稱為“戲管”。

當此種熱力水泵進行工作時，其工作過程可按燃燒室內氣體動作情況分四個過程分別加以說明如下：

1. 壓縮過程——設燃燒室內由於上一循環的進氣過程中已吸入適量的煤氣-空氣混合氣體後，氣閥均已適時關閉。此時由於右方水柱的靜壓力以及戲管內因管水倒流時的慣性力將混合氣壓縮。圖 3 为室內壓力變化圖，其中 AC 为壓縮曲線。

2. 燃燒及膨脹過程——(a) 管水逆流停止後，被壓縮的混合氣由於火花塞點火而着火爆發。此時室內壓力急劇地上升，在圖 3 中示如 CZ 曲線。(b) 室內壓力升至最高點後，即行膨脹，直接施壓力於管內水面，逕將水壓送至高地水槽。此時室內壓力隨管內水面的下降而減少，並在管水慣性力的協助下，膨脹過程一直要延續到室內壓力低於大氣壓力而後已。此膨脹過程在圖 3 中示如 ZF 曲線。

- 1 — 燃燒室  
 2 — 進氣閥  
 3 — 排氣閥  
 4 — 火花塞  
 5 — 進水閥  
 6 — 戰管  
 7 — 進水槽  
 8 — 水塔

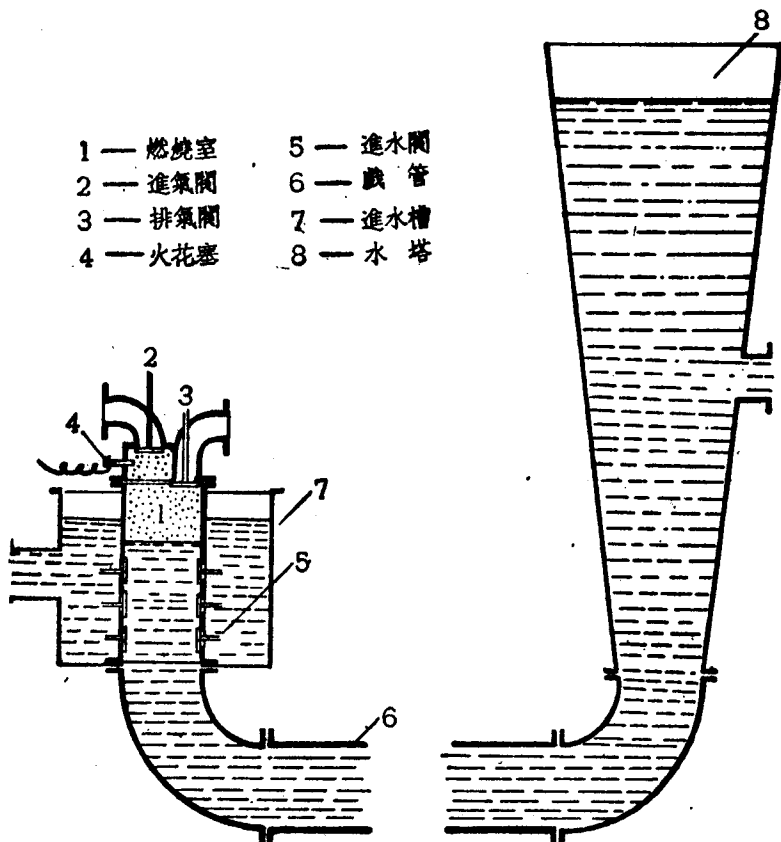


圖 2 內燃水泵燃燒原理圖

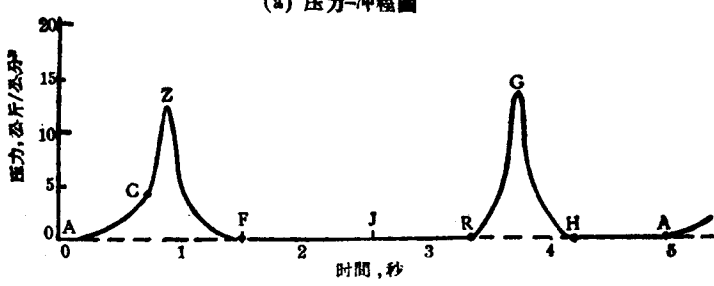
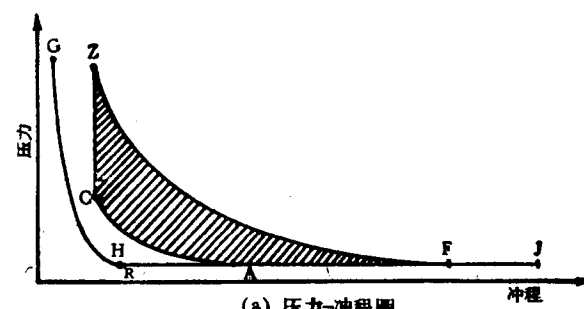


圖 3 內燃水泵燃燒室內壓力變化圖

3. 排气及垫气压缩过程——(a) 室内压力下降到接近大气压力时，排气阀由于本身重量自行打开（此时进气阀由于连锁机构作用不能同时打开），而同时由于缸内水位低于进水箱水位，进水阀亦自动打开，让水得以畅流进入缸内。此时缸内流水仍以其惯性力对抗水柱静压力冲向水塔或高地水槽，而进缸的水由后端填补其缺，并以其多余的进水将室内水面提高，进行排气。此种情况，一直要延续到水速为零才止，在图3中示如FJ曲线。随后，管水又由于水柱静压力倒流，然后水阀关闭，而室内水面上升适与排气阀面相碰使排气阀关闭，在图3中示如JR曲线，而FJR曲线表示整个排气过程。(b) 排气阀关闭后，室内水面仍继续上升，室内残余气体被高度地压缩于垫气室内，形成垫气压缩过程，在图3中示如RG曲线。

4. 垫气膨胀及吸气过程——(a) 在垫气压缩过程之后，经高度压缩的垫气又再行膨胀将管水压向右行直至压力降低至接近大气压力后，进气阀自动开启（此时排气阀由于连锁机构的关系不能同时打开）而已。这一垫气膨胀过程，在图3中示如GH曲线。(b) 进气阀打开后，管内流水仍以其惯性力冲向右行，造成室内部分真空，因而吸入新鲜混合气。这一吸气行程一直要延续到管水瞬时静止时而已，在图3中示如HA曲线。过此，则管水又复倒流，开始下一循环的压缩过程。

按上述工作过程，每一工作循环中，缸内水面要往复升降四次，故可称“四程式”内燃水泵。在同一热力提水工作原理下，也可将换气过程合併於压缩及膨胀两主要行程之内，因而可以构成“二程式”内燃水泵。

此种水泵在国外曾经有过一些发展。英人洪孚理(H. A. Humphrey)曾早于1909年提出了内燃水泵的研究报告，其中主要内容是关于四程式内燃水泵试制试验结果，并随即在伦敦附近用此种水泵于1913年建成了9公尺水头下每日供水94万公吨的庆福特(Chinford)抽水站，作为英伦理河(River Lea)的防洪设备。这一大抽水站包括有缸径2.13公尺每日供水21万公吨的大型水泵四座及缸径1.52公尺每日供水10万公吨的大型水泵一座。据实用记载，以实际提水量计算，每提水马力小时仅耗0.36~0.49公斤的无烟煤。可惜洪氏的研究工作因第一次世界大战的爆发而完全中断。此后，由于庆福特抽水站长期使用中所表现的令人满意的成果，曾引起了南澳大利亚于1930年以同式水泵在莫锐河畔(River Murray)设立有柯布多格拉(Cobdogla)抽水站作为灌溉设备。这个抽水站包括有8.4公尺的水头下每分钟供水106公吨的四程式大型内燃水泵两个。实用记载表明每一实际提水马力小时消耗当地的风干木柴1.85公斤，也经满意地使用有年。继此，美国杂志于1933及1934年分别报导了美国人斯特克尔(A. P. Steckel)进行有新型二程式内燃水泵的试验。这个水泵，在燃烧室内装用了松配合的轻圆板式活塞将室内废气与新鲜混合气隔开而形成二冲程循环，并由于特种“加压器”的装用，使水头得以提高至36公尺以上，也大大地提高了每分钟的循环数及实际马力出量。但这种水泵在此后并未见有长期使用经验的报导。

这样一种理想的农用内燃水泵其所以在国外尚没有得到应有的发展和应用，看来是有它的特殊原因的。首先，这种热力水泵的成功，虽将为广大农業带来无可估計的巨大利益，但却根本不能成为资本主义制度下的工业资本家发财致富的工具。这是因为内燃水泵究竟是一个发动机与抽水机的综合机械，其彻底的研究尚需相当巨大的投资和劳动。

然而研究成功之后，却由於構造相當簡單，將可使任一機械廠都能以最簡單的設備從事做造，以致投資於這種研究工作的工業資本家無從获利，顯然不會使資本家樂於這種長期性的投資。其次是由於此項研究工作的洪、斯兩氏也並沒有看到內燃水泵特別適用於農田排灌工作的突出特點，從而在這一方向進行深入的研究，却側重於新型發動機的尋找，傾向為城市及工業各項用途去打算，顯然難以帶來最理想的成果。

此外，還另有一個基本原因，就是歐美各國很少具有像我國水田這樣需要大量水耗的農業，因而反映到科學技術界也沒有農用內燃水泵這樣的迫切要求，以致英美研究者無從看到內燃水泵的最高價值之所在。根據我國水田農業的特點，內燃水泵却具有大量發展的可能性。

### 三 內燃水泵理想热力循环与热效率的分析

內燃水泵的現實性雖在試驗上和實際應用上都有了証實，而在工作過程上則迄今尚缺乏理論性的分析。英人洪孚理曾在其所提內燃水泵的論文中特別指出：“所述內燃水泵最初看來雖很簡單，而為了研究其整個工作情況所需的計算却至為複雜。目前作者尚不能提出聯繫各有關因素的任何概括性的公式來表示其所要求的計算”。這裡，洪氏就早已提出內燃水泵進一步的研究尚有待於其理論與計算的深入鑽研。茲將於本文內提出內燃水泵的理想工作循環，並對其熱力與提水過程分別加以理論上的研究和分析，從而發掘和掌握這種熱力水泵的工作規律，以為今后設計試制的理論基礎和依據。

顯然，內燃水泵的工作過程中包括有熱力發動機中的熱力過程，也同時有水泵中的提水過程。其中：理想熱力過程可合理地按熱力分析方法取標準空氣為介質所構成的一種熱力循環來進行研究。在其理想提水過程中以及其噴管管水的理想運動中，由於噴管管徑頗大，可假設管水流動時無摩阻。為便於計算計，也可假定每分鐘的工作循環數頗高，缸內水面與熾熱介質接觸時間很短，因而使缸內水面在理想的工作循環中並不因其與熱空氣的接觸而蒸發。

圖4表明內燃水泵的工作原理簡圖。設 $H$ 為水泵提水時的水頭； $\gamma$ 為單位體積的水所具有的重量； $p_0$ 為大氣壓力； $p$ 為缸內瞬時氣壓力； $L$ 為噴管長度； $A$ 為氣缸及噴管截面積； $x$ 為缸內水面高出進水箱水面的瞬時距離； $\varepsilon$ 為壓縮比； $\delta$ 為膨脹比； $k$ 為空氣比熱比值； $v$ 為

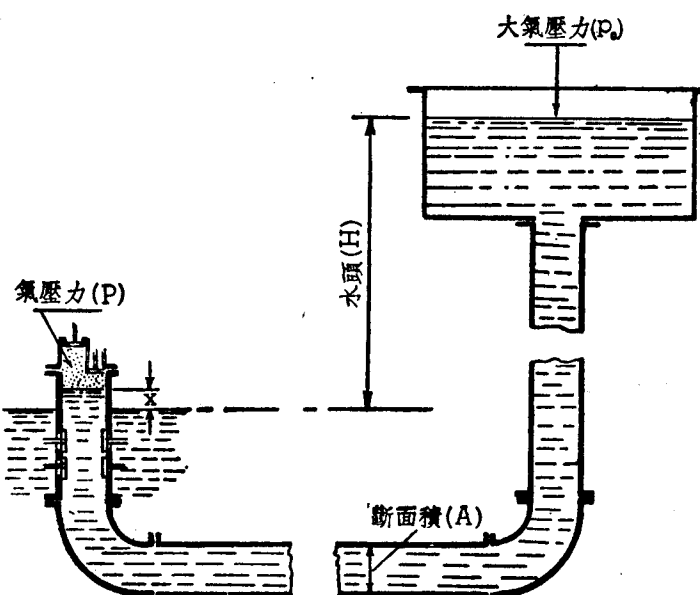


圖4 內燃水泵工作原理圖

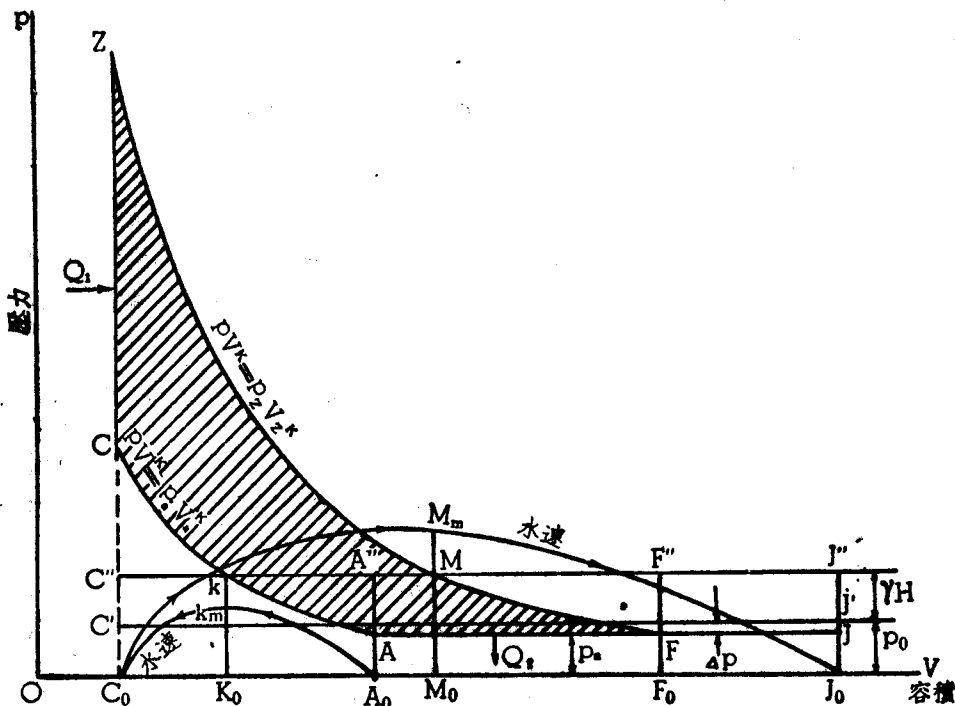


圖 5 內燃水泵理想熱力提水循環

水管內管水的瞬時流速。由於我們可以假定水塔或高地水槽的水面截面積比水管截面積要大得很多，而水頭也相對地比  $x$  大得很多，故在計算及分析中當可假定作用於水管及氣缸的靜水頭  $H$  為一常數。

圖 5 表明內燃水泵理想熱力提水過程的圖解。其中， $AC$  表示絕熱壓縮過程， $CZ$  表示定容加熱過程， $ZF$  表示絕熱膨脹過程，而  $FA$  表示定壓放熱過程。假定壓縮開始時管水處於瞬時靜止狀態，則  $A_0K_mC_0$  表示壓縮過程中管水逆流時瞬時流速的變化，其中  $K_0$  點表示缸內氣壓力與水頭靜壓力相等產生最高管水流速時的位置，而  $C_0$  表示壓縮終點下水速瞬時為零的情況。在膨脹過程中， $C_0M_mJ_0$  表示水管管水瞬時流速的變化，其中  $M_0$  表示缸內氣壓力與水頭靜壓力相等產生最高管水流速時的位置； $F$  點表示氣體膨脹終點時的情況。 $J_0$  表示氣體膨脹終止後管水由於慣性力繼續流出最後瞬時終止時的情況。缸內氣體膨脹至  $F$  點時，可假定進水閥打開供給足夠的進水，使管水繼續流出而不致使缸內氣壓力繼續下降。這樣的理想熱力過程，可分別加以理論上的分析如后：

- 壓縮過程——在壓縮開始時，假定缸內氣壓力為  $p_a$ ，進氣閥剛閉，而管水正處於瞬時靜止狀況。由於受到水頭靜壓力  $(p_0 + \gamma H)$  的影響，管水獲得逆行流速，缸內水面開始上升，而缸內氣壓力  $(p)$  亦隨之上升。參照圖 5， $C''A''$  表示水柱靜壓力， $AKC$  表示缸內氣壓力的變化。在壓縮初期，水柱靜壓力高於缸內氣壓力，於是管水被迫左行，水速逐漸增加，而缸內氣壓力逐漸提高。到  $K$  點時，缸內氣壓力與水柱靜壓力相等，而管水達到其最高流速。此後，水柱靜壓力雖低於缸內氣壓力，但管水由於已取得的慣性力作用，仍然繼續左行，將缸內氣體繼續壓縮，直到水速為零時而後已。

这样，在理想的压缩过程中，水柱所作之功 ( $A''C''C_0A_0A''$ ) 当与气体所接受的压缩功 ( $AKCC_0A_0A$ ) 相等，因而使图 5 中的面积  $KCC''K$  与面积  $KA'A'K$  相等。在压缩开始后，当缸内水面上升  $x$  时，水柱作功为  $(\gamma H + p_0)(V_a - V)$ ，管水对缸内气体所作之功为  $\int_{V_a}^V pdV$ ，而管水的瞬时动能为  $\gamma LAv^3/2g$ 。故此时的能量方程式为：

$$\frac{\gamma LAv^3}{2g} = (\gamma H + p_0)(V_a - V) - \frac{pV - p_a V_a}{k-1}, \quad (1)$$

当压缩到达终点时， $v=0$ ，式(1)成为：

$$\frac{p_a V_a - p_a V_a}{k-1} = (\gamma H + p_0)(V_a - V).$$

取压缩比  $\frac{V_a}{V_o} = \varepsilon$ ，则在压缩终点的情况下，

$$p_c = (k-1) \left\{ \left[ (\gamma H + p_0) + \frac{p_a}{k-1} \right] \varepsilon - (\gamma H + p_0) \right\}; \quad (2)$$

$$\varepsilon = \left( \frac{p_c}{p_a} \right)^{\frac{1}{k}}. \quad (3)$$

反之，如理想压缩过程中的压缩比为已知，则亦可推得其理想压缩压力及作用的水头为：

$$p_c = p_a \cdot \varepsilon^k, \quad (4)$$

$$H = \frac{p_c - p_a \cdot \varepsilon}{\gamma(k-1)(\varepsilon-1)} - \frac{p_0}{\gamma}. \quad (5)$$

此时缸内气体的压缩容积及压缩温度也将随水头的高低而取得以下各值：

$$V_c = \frac{V_a}{\left( \frac{p_c}{p_a} \right)^{\frac{1}{k}}}, \text{ 或 } = \frac{V_a}{\varepsilon}; \quad (6)$$

$$T_c = T_a \cdot \left( \frac{p_c}{p_a} \right)^{\frac{k-1}{k}}, \text{ 或 } = T_a \cdot \varepsilon^{k-1}. \quad (7)$$

若取  $p_0 = p_a = 1$  公斤/公分<sup>2</sup>， $t_a = 15^\circ\text{C}$  及  $k = 1.4$ （以后各节图表均作此假定），则内燃水泵的压缩压力、压缩比以及压缩容积与水头的关系，可算出列如表 1 并图示如图 6。由此可

表 1 理想压缩情况与水头的关系

$\varepsilon$	$H$	$V_c$	$p_c$	$T_c$
1.2	1.4	83.2	1.29	310
1.5	3.2	66.6	1.76	239
2.0	6.0	50.0	2.64	380
2.5	8.4	40.0	3.61	418
3.0	10.7	33.3	4.66	447
3.5	12.8	28.6	5.78	475
4.0	14.7	25.0	6.97	502
4.5	16.5	22.2	8.21	526

$H$ =水头，公尺； $\varepsilon$ =压缩比； $p_c$ =压缩压力，公斤/公分<sup>2</sup>； $T_c$ =压缩温度， $^\circ\text{K}$ ； $V_c$ =压缩容积 %始压容积。

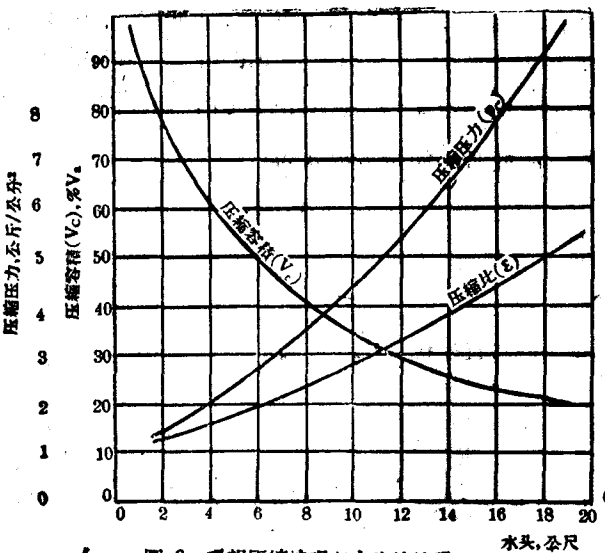


圖 6 理想压缩情况与水头的关系

見，內燃水泵在其理想压缩过程中將表現有下述工作特性：

(1) 內燃水泵的压缩比及压缩压力决定於水头的高低，並均將隨水头的增加而提高(圖 6)。

(2) 內燃水泵的压缩容积亦决定於水头的高低，並將隨水头的增加而減少(圖 6)。

在特定的情况下，管水在开始进行压缩时，也可能先有始速。若在压缩开始时 ( $V = V_a$ )，管水已先有逆流始速  $v_A$  时，则此时理想压缩过程中的能量方程式將为：

$$\frac{\gamma LA}{2g} (v^2 - v_A^2) = (\gamma H + p_0)(V_a - V) - \frac{pV - p_a V_a}{k-1}. \quad (8)$$

当压缩到达終点时，式(8)形成：

$$\frac{p'_c V'_c - p_a V_a}{k-1} = (\gamma H + p_0)(V_a - V) + \frac{\gamma LA v_A^2}{2g},$$

故所得的压缩压力( $p'_c$ )及压缩比( $\epsilon'$ )勢將隨  $v_A$  的增加而提高，並可由下列兩式求得：

$$p'_c = (k-1) \left\{ \left[ (\gamma H + p_0) + \frac{p_a}{k-1} \right] \epsilon' - (\gamma H + p_0) + \frac{\gamma q}{2g} \epsilon' v_A^2 \right\}; \quad (9)$$

$$\epsilon' = \left( \frac{p'_c}{p_a} \right)^{\frac{1}{k}}, \quad (10)$$

其中， $q = \frac{LA}{V_a}$  = 截管管水容积与缸内气体始压容积的比值，可簡称“管水比容”。

反之，从(9)(10)兩式的关系，亦可由压缩比  $\epsilon'$  来表示压缩压力( $p'$ )及水头( $H$ )如下：

$$p'_c = p_a \epsilon'^{\frac{1}{k}}, \quad (11)$$

$$H = \frac{p'_c - p_a \cdot \epsilon'}{\gamma(k-1)(\epsilon' - 1)} - \frac{p_0}{\gamma} - \frac{v_A^2}{2g} \frac{\epsilon' q}{\epsilon' - 1}. \quad (12)$$

若取  $p_a = p_0 = 1$  公斤/公分<sup>2</sup>，則當管水在压缩始点有始速时的压缩比与始速，管水比容及水头的关系，可算得如表 2。圖 7 表示在同一“管水比容”下，理想压缩比与水头及始压水速的关系，而圖 8 則表示在同一管水压缩始速下理想压缩比与“管水比容”及水头的关系。由此可見，當管水在压缩始点有始速( $v_A$ )时，內燃水泵將表現下述工作特性：

(1) 在同一水头及“管水比容”的情况下，其压缩比( $\epsilon'$ )及压缩压力( $p'_c$ )將隨管水压缩始速  $v_A$  的增加而提高(圖 7)。

(2) 在同一水头及管水压缩始速( $v_A$ )下，其压缩比( $\epsilon'$ )及压缩压力( $p'_c$ )將隨“管水比

表2 管水有压縮始速时的压縮情况与水头的关系

$\varepsilon'$	H( $q=50$ 时)			H( $v_A=1$ 时)		
	$v_A=0.5$	$v_A=1$	$v_A=1.5$	$q=40$	$q=50$	$q=60$
2.0	4.7	0.9	—	1.9	0.9	—
2.5	7.3	4.2	—	5.0	4.2	3.4
3.0	9.8	6.9	2.2	7.3	6.9	6.1
3.5	11.9	9.3	4.9	10.0	9.3	8.6
4.0	13.9	11.3	7.1	12.0	11.3	10.6
4.5	15.7	13.3	9.3	13.9	13.3	12.6
5.0	17.4	15.0	11.1	15.7	15.0	14.4
5.5	18.6	16.3	12.4	16.9	16.3	15.7
6.0	20.7	18.5	14.7	19.1	18.5	17.9

$H$ =水头, 公尺;  $q$ =管水比容;  $v_A$ =管水压縮始速, 公尺/秒;  $\varepsilon'$ =水头  $H$  及管水比容  $q$  下由於管水有压縮始速时的压縮比。

容”的增加而提高(圖8)。

2. 加热及膨胀过程——在理想热力过程中, 設缸内标准空气在定容情况下接收热入量  $Q_1$ , 並設  $\lambda = p_s/p_o$  为压力升高比, 則参照圖5可依次得出热入量 ( $Q_1$ ), 最高温度 ( $T_s$ ), 最高压力 ( $P_s$ ) 及压力升高比 ( $\lambda$ )如下:

$$Q_1 = C_v(T_s - T_o) = C_v \cdot T_o \cdot \varepsilon^{k-1}(\lambda - 1); \quad (13)$$

$$T_s = \lambda T_o = \frac{Q_1}{C_v} + T_o \cdot \varepsilon^{k-1}; \quad (14)$$

$$P_s = \lambda P_o = p_o \cdot \varepsilon^k \left( \frac{Q_1}{C_v \cdot T_o \cdot \varepsilon^{k-1}} + 1 \right); \quad (15)$$

$$\lambda = \frac{Q_1}{C_v \cdot T_o \cdot \varepsilon^{k-1}} + 1. \quad (16)$$

当缸内空气吸收热入量  $Q_1$  后, 缸内气压提升至  $p_s$ , 高出水柱静压力很多。此时, 气体立即进行绝热膨胀, 示如  $ZMF$  曲線(圖5), 直至  $F$  点时进水閥打开, 有水进缸补充流出之管水时而后已。又設  $\delta = V_F/V_s$  为膨胀比, 則可得:

$$\delta = \left( \frac{p_s}{p_o} \right)^{\frac{1}{k}} = \varepsilon \cdot \lambda^{\frac{1}{k}}. \quad (17)$$

如取压縮始温为  $15^{\circ}\text{C}$ , 大气及始压压カ为 1 公斤/公分<sup>2</sup>, 标准空气的定容比热为 4.935 大卡/公斤分子, 並为便於使用發

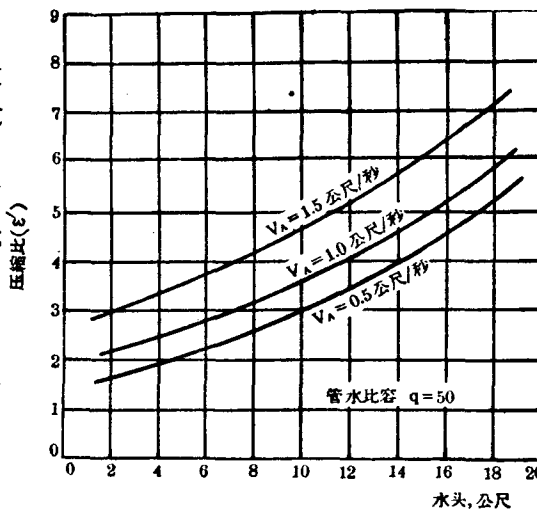


圖7 壓縮比与管水压縮始速及水头的关系( $V_A$ 应为 $v_A$ 下圖同)

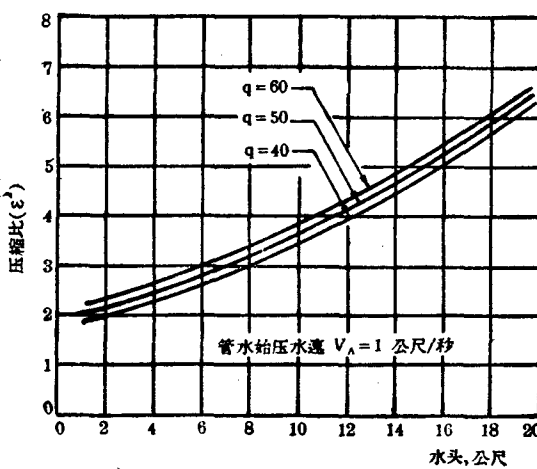


圖8 管水有压縮始速时的压縮比与管水比容及水头的关系

表3 理想膨胀情况与水头的关系

$\epsilon$	H	$p_c$	$Q_1=6,500$			$Q_1=8,000$			$Q_1=9,500$		
			$\lambda$	$\delta$	$p_z$	$\lambda$	$\delta$	$p_z$	$\lambda$	$\delta$	$p_z$
1.2	1.4	1.29	5.25	3.92	6.8	6.23	4.43	8.1	7.21	4.92	9.3
1.5	3.2	1.77	4.89	4.66	8.6	5.79	5.26	10.2	6.68	5.83	11.8
2.0	6.0	2.64	4.47	5.83	11.8	5.27	6.55	13.9	6.07	7.25	16.0
2.5	8.4	3.61	4.17	6.93	15.0	4.90	7.78	17.7	5.63	8.59	20.3
3.0	10.7	4.66	3.95	8.00	18.4	4.63	8.96	21.5	5.31	9.88	24.7
3.5	12.9	5.78	3.77	9.03	21.8	4.41	10.10	25.5	5.05	11.13	29.2
4.0	14.7	6.96	3.63	10.04	25.3	4.23	11.21	29.5	4.84	12.34	33.7
4.5	16.5	8.21	3.51	11.02	28.8	4.08	12.29	33.5	4.66	13.51	38.3

$H$ =水头,公尺;  $\epsilon$ =压缩比;  $\lambda$ =压力升高比;  $\delta$ =膨胀比;  $Q_1$ =热入量,大卡/公斤分子;  
 $p_c$ =压缩压力,公斤/公分<sup>2</sup>;  $p_z$ =最高压力,公斤/公分<sup>2</sup>

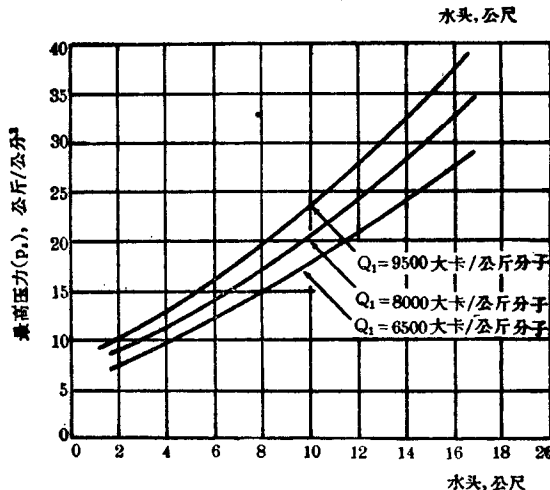


圖9 最高压力与水头及热入量的关系  
头而增加的結果。

(2)在同一水头下,其最高压力將隨热入量的增加而增加(圖9)。

(3)在同一水头下,压力升高比亦將隨热入量的增加而增加;而在同一热入量下,此項比值則將隨水头的增加而減少(圖10)。

(4)与一般内燃机相反,由於膨胀不受活塞冲程或压缩比的限制,内燃水泵的膨胀比大大地高过其压缩比,並將隨水头及热入量的增加而增加

生爐煤气为燃料时在效用上可以比拟計,分別取热入量为 6,500<sup>(1)</sup>, 8,000 及 9,500 大卡/公斤分子,則理想热力过程中的最高压力、压力升高比及膨胀比与水头及热入量的关系可算得如表 3,並分別圖示如圖 9,10 及 11。由此可見,內燃水泵在加热及膨胀过程中將表現下列各工作特性:

(1)在同一热入量的情况下,内燃水泵的最高应力( $p_z$ )与水头的高低有关,並將隨水头的增加而提高(圖9)。显然,这一特性也是由於压缩比随水

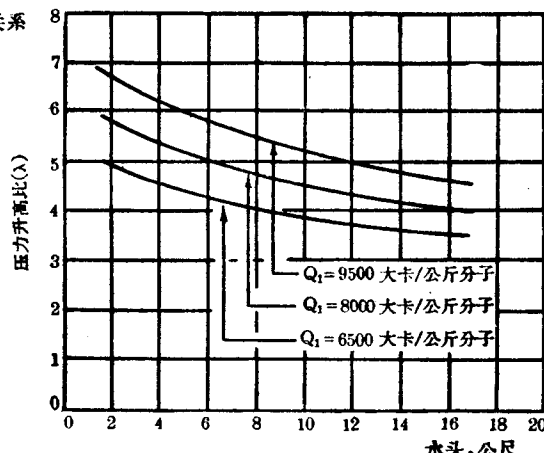


圖10 压力升高比与水头及热入量的关系

(1) 热入量 6,500 大卡/公斤分子这一参数与洪学理在其内燃水泵論文中所提出的参数相当。洪氏提出用生爐煤气为燃料时,内燃水泵在較高的压缩压力下(表压 120 磅/方吋)的最高溫度可达 1,600°C。

(圖11)。这一特性也大大地有益於有效功的增加和热效率的提高，使內燃水泵拥有一般内燃机所不可及的高經濟性这一优越的性能。

3. 热效率及热能比耗——在理想热力过程中，若缸内标准空气介质在定容下吸收热入量  $Q_1 = C_v(T_e - T_a)$ ，并在定压下放出热量  $Q_2 = C_p(T_f - T_a)$ ，如圖5所示，则内燃水泵的理想热效率将为

$$\eta_i = 1 - \frac{Q_2}{Q_1} = 1 - k \frac{\delta - \varepsilon}{\delta^k - \varepsilon^k}, \quad (18)$$

其中， $\delta = \varepsilon \lambda^{\frac{1}{k}} = \varepsilon \left\{ \frac{Q_1}{C_v \cdot T_a \cdot \varepsilon^{k-1}} + 1 \right\}^{\frac{1}{k}}$ 。

定容循环式内燃机的理想热效率，则因膨胀比与压缩比相等故为

$$\eta_{i0} = 1 - \frac{1}{\varepsilon^{k-1}}, \quad (19)$$

若  $\eta_r$  = 相对效率，则内燃水泵的指示热能比耗为：

$$h = \frac{632}{\eta_i \cdot \eta_r} \text{大卡/指示馬力小时}, \quad (20)$$

而内燃机的指示热能比耗则为：

$$h_0 = \frac{632}{\eta_{i0} \cdot \eta_r} \text{大卡/指示馬力小时}. \quad (21)$$

若取热入量为 6,500, 8,000 及 9,500 大卡/公斤分子，并取相对热效率为 0.71<sup>(1)</sup>，则内燃水泵与内燃机在同一压缩压力的基础上互相比較时，其理論热效率及指示热能比耗可算出

表 4 理想热效率及指示热能比耗与压缩力的关系

$\varepsilon$	$p_c$	$\eta_{i0}$	$h_0$	$Q_1 = 6,500$		$Q_1 = 8,000$		$Q_1 = 9,500$	
				$\eta_i$	$h$	$\eta_i$	$h$	$\eta_i$	$h$
1.2	1.29	7.0	12,690	30.0	2,925	33.0	2,708	35.0	2,543
1.5	1.76	15.0	5,961	35.5	2,512	37.7	2,765	39.6	2,254
2.0	2.64	24.2	3,686	41.5	2,152	43.4	2,056	45.0	1,981
2.5	3.60	30.7	2,909	45.7	1,952	47.5	1,880	48.9	1,823
3.0	4.66	35.6	2,250	49.0	1,821	50.6	1,764	51.0	1,718
3.5	5.78	39.4	2,164	51.6	1,729	53.1	1,681	54.3	1,642
4.0	6.97	42.6	2,096	53.8	1,659	55.2	1,618	56.3	1,585
4.5	8.21	45.2	1,974	55.6	1,604	56.9	1,567	58.0	1,537

$\varepsilon$ =压缩比； $p_c$ =压缩压力，公斤/公分<sup>2</sup>； $Q_1$ =热入量，大卡/公斤分子； $\eta_i$ ,  $\eta_{i0}$ =内燃水泵及内燃机的理想热效率，%； $h$ ,  $h_0$ =内燃水泵及内燃机的指示热能比耗，大卡/指示馬力小时。

(1) 相对效率系按洪学理所提参数 0.71 計算。

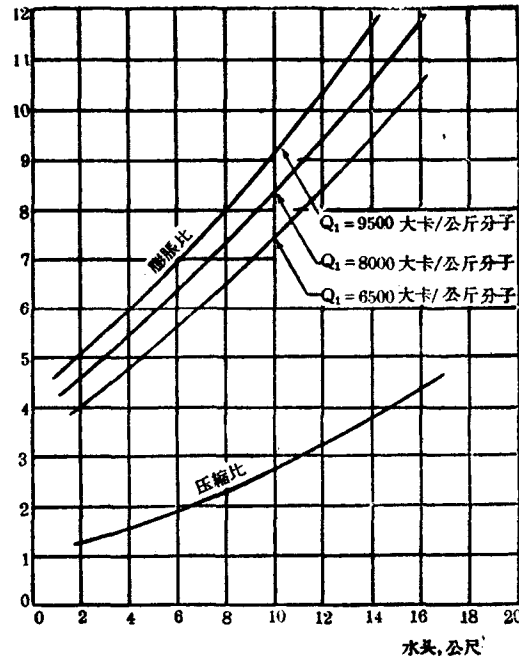


圖 11 膨脹比与水头及热入量的关系

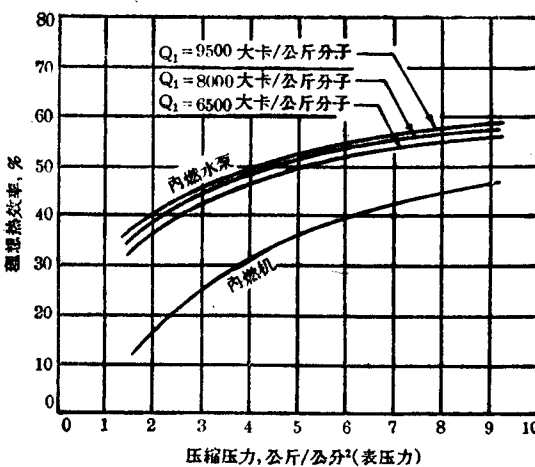


圖 12 內燃水泵与內燃机的理論热效率

一般活塞式內燃机，特別是壓縮壓力較低以及熱入量較高時，其差異更大（圖 12）。

(4) 內燃水泵的指示熱能比耗（大卡/指示馬力小時）隨壓縮壓力或水頭的增加而減少，並在同一壓縮壓力或水頭下將隨熱入量的增加而減少（圖 13）。

(5) 在同一壓縮壓力的情況下互相比較時，內燃水泵的指示熱能比耗一般要低於內燃機，而在低壓縮情況下低得特別多。同時內燃水泵的熱能比耗曲線比較很平（圖 13），充分說明內燃水泵在很低的壓縮壓力或水頭下仍能以相當低的燃料比耗進行工作。

4. 內燃水泵熱力循環的工作特點在實際應用上的意義——通過上述各熱力過程及熱效率的理論計算，分別地分析了內燃水泵有關熱能利用上的工作特性。其中若干特點，在內燃水泵的實際應用上各具有其特殊重要的意義：

(1) 首先，在膨脹過程中，由於缸內氣體獲得充分的膨脹，內燃水泵具有較壓縮比要高得很多的膨脹比，以致其熱效率大大地高出同一壓縮情況下的內燃機（圖 12）。這優越性已可說明內燃水泵具有高經濟性這一點的理論依據之一。

(2) 在同一壓縮壓力下，內燃水泵的熱效率隨着熱入量的增加而提高（圖 12），也即是它的指示燃料比耗（圖 13）將隨熱入量的增加而減少。這點說明如內燃水泵採用液體燃料時，熱效率將更高，而在採用煤氣的情況下如在設計和使用上對煤氣-空氣混合器給予特別的注意，則內燃水泵的經濟性也還可適度地提高。

(3) 在同一熱入量的情況下，內燃水泵的熱效率高於內燃機（圖 12），即它的指示燃料

列如表 4，並經圖示如圖 12 及圖 13。由此可見，內燃水泵在熱能利用上將表現有下列各項工作特性：

(1) 在同一熱入量的情況下，其理想熱效率將隨壓縮壓力，亦即隨水頭的增加而提高（圖 12）。

(2) 在同一壓縮壓力或水頭下，內燃水泵的理想熱效率將隨熱入量的增加而提高。反之，一般定容循環式內燃機（如煤氣機）所具有的理想熱效率則只與壓縮壓力有關，而與熱入量無關（圖 12）。

(3) 在同一壓縮壓力的情況下互相比較時，內燃水泵的理論熱效率總高於

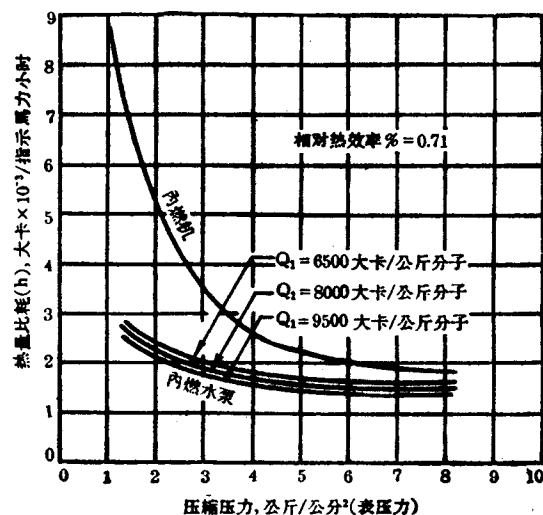


圖 13 內燃水泵与內燃机的热能比耗

比耗低於內燃机(圖 13),而这一优越性在低壓縮下更为显著。这点給內燃水泵以極有利的条件,使之能在低壓縮或低水头下仍能以适当的热效进行工作。其所以利於低水头下工作,乃是由於其膨胀冲程絲毫不受压缩冲程的拘束,以致即在完全無压縮的情况下,只要有同量的热入量,仍將具有很大的膨胀比,因而能以相当高的热效进行作功。这点突出地表現了內燃水泵在低水头下工作时的优良特性。

(4)內燃水泵的压縮比决定於水头的高低(圖 6)也是另一突出的特点。这点說明在实用上內燃水泵的水头不能过高(不用水头提高装置时)。但在低水头工作时,压縮比虽不高,而在一定范围内其热效率却比活塞式内燃机为高,因而並不影响其实用价值。

(5)設想內燃水泵戏管中的水阻与內燃机中的机械損失相当,則內燃水泵中的水泵效率即为 100%,而煤气机抽水设备中所用的抽水机效率一般却只 50~75%(用离心式抽水机时)。这点具体指明內燃水泵不独比煤气机抽水设备具有更高的热效率,而其水泵效率还达到了理想的境地,因而也說明了此种热力水泵的总經濟性比其他热力水泵(例如內燃水泵每实用提水馬力小时耗無烟煤 0.36~0.49 公斤,而煤气机抽水设备每实用提水馬力小时所耗無烟煤要达一公斤)要高得很多的根本原因。这也就是採用內燃水泵最主要的有利条件之一。

#### 四 內燃水泵的理想管水运动及其理想工作过程的分析

显然,內燃水泵的工作过程,無論在热力循环或提水过程各方面,都与戏管中的管水运动有关。首先,戏管中管水的倒流对於工作过程中的压縮情况起了决定性的作用。其次,膨胀过程中的管水运动,基本上决定着每一工作循环的提水量。四程式內燃水泵的换气过程也完全是依靠垫气压縮与垫气膨胀所形成的管水摆动而进行的。每一工作过程所需的时间亦决定於該过程所形成的管水流動情况。茲特通过理想管水运动的研究对內燃水泵中各工作过程分別加以分析如下:

1. 理想压縮过程中管水的冲动与压縮所需时间及其有关工作特性——在理想压縮过程中,戏管管水将首先由瞬时靜止状态获得逐渐提高的水速  $v_e$  (參照圖 4 及圖 5)。等到缸内气压力( $p$ )与水柱靜压力( $\gamma H + p_0$ )相等时,水速乃达最大值  $v_{e\ max}$ 。过此,水速又逐渐下降,到压縮終点时,水速又瞬时归於靜止。管水瞬时流速可由压縮过程中的能量方程式(式 1)算得如下式:

$$v_e = \sqrt{\frac{2g}{\gamma q}} \sqrt{(\gamma H + p_0)(1-\sigma) + \frac{p_a}{k-1} \left[ 1 - \frac{1}{\sigma^{k-1}} \right]}, \quad (22)$$

其中,  $q = \frac{LA}{V_a}$  = 戏管管水体积与缸内气体始压时体积的比值,簡称“管水比容”;

$\sigma = \frac{V}{V_a}$  = 缸内气体瞬时体积与始压时体积的比值,可簡称“瞬时介质比容”。

圖 5 中曲線  $A_0 K_m C_0$  表示理想压縮过程中管水在一定水头下倒流时的瞬时流速  $v_e$  随压縮而变化的情况。

当缸内气压力与水柱靜压力相等时,設缸内气体体积为  $V_b$ ,則压縮过程中的管水最高流速为:

$$v_{c \max} = \sqrt{\frac{2g}{\gamma q}} \sqrt{(\gamma H + p_0)(1 - \sigma_k) + \frac{p_a}{k-1} \left(1 - \frac{1}{\sigma_k^{k-1}}\right)}, \quad (23)$$

其中,  $\sigma_k = \frac{V_k}{V_a} = \left[ \frac{p_a}{\gamma H + p_0} \right]^{\frac{1}{k}}$  = 压缩过程中最高水速时缸内气体体积与始压体积的比值, 可简称为“压缩中最高速时介质比容”。

由此可见, 在一定的水头下, 内燃水泵的“管水比容”( $q = \frac{LA}{V_a}$ )对于其压缩过程中的管水最高流速  $v_{c \max}$  具有很大的影响。在压缩时指定的最高水速下, 不同水头所要求的“管水比容”可求得如下式:

$$q = \frac{LA}{V_a} = \frac{2g}{\gamma v_{c \max}^2} \left\{ (\gamma H + p_0)(1 - \sigma_k) + \frac{p_a}{k-1} \left(1 - \frac{1}{\sigma_k^{k-1}}\right) \right\}. \quad (24)$$

表 5 列出理想压缩过程中内燃水泵在不同的最高水速情况下所具管水比容将随水头高低而变化的情况, 并经图示如图 14。由此可见, 截管管水体积的大小对内燃水泵的理想

表 5 理想压缩过程中管水比容与水头及水速的关系

$\epsilon$	$H$	$q = LA/V_a$				
		$v_{c \max} = 0.4$	$v_{c \max} = 0.8$	$v_{c \max} = 1.2$	$v_{c \max} = 1.6$	$v_{c \max} = 2.0$
1.2	1.4	8.1	2.0	0.9	0.5	0.3
1.5	3.2	38.3	9.6	4.3	2.4	1.5
2.0	6.0	118.9	29.7	13.2	7.4	4.8
2.5	8.4	213.2	53.3	23.7	13.3	8.5
3.0	10.7	320.1	80.0	35.6	20.0	12.8
3.5	12.8	460.1	115.0	51.2	28.8	18.4
4.0	14.7	536.8	134.2	59.6	33.6	21.5
4.5	16.5	644.7	161.2	71.6	40.3	25.3

$q = \frac{LA}{V_a}$  = 管水比容;  $\epsilon$  = 压缩比;  $H$  = 水头, 公尺;  $v_{c \max}$  = 压缩时管水最高流速, 公尺/秒。

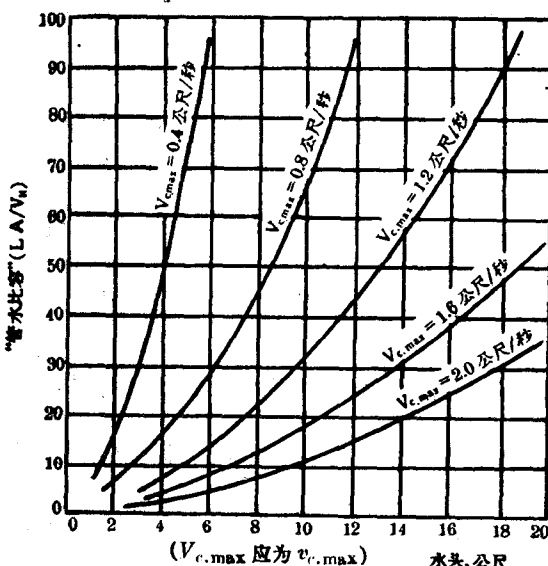


图 14 理想压缩过程中管水比容与水头及水速的关系

压缩过程将发生下列影响:

- (1) 在指定的最高水速 ( $v_{c \max}$ ) 下, 如缸内气体始压体积  $V_a$  固定, 则管水体积 ( $LA$ ) 应随水头 ( $H$ ) 的减少而减少。
- (2) 在管水体积 ( $LA$ ) 不变的情况下, 如缸内气体始压体积 ( $V_a$ ) 固定, 则理想压缩过程中的最高水速 ( $v_{c \max}$ ) 将随水头 ( $H$ ) 的提高而增加。
- (3) 在水头 ( $H$ ) 固定的情况下, 如缸内气体始压容积 ( $V_a$ ) 不变, 则理想压缩过程中的最高水速 ( $v_{c \max}$ ) 将随管水体积 ( $LA$ ) 的减少而提高。
- (4) 在既定的水头 ( $H$ ) 及管水体积 ( $LA$ ) 的情况下, 如缸内气体始压容积